

Comparison of the Effects of Nano Titanium Dioxide with 10nm Diameter on Testis and Epididymis of Adult Male Mice NMRI Strain in “in vivo” Conditions

N. Hayati Roodbari^{1*}, K. Parivar², S. Rezaee³,
A. R. Badiee⁴

1. Assistant Professor, Islamic Azad University, Tehran Science and Research Branch, Department of Biology, Tehran, Iran

2. Professor, Islamic Azad University, Tehran Science and Research Branch, Department of Biology, Tehran, Iran
3. M. Sc. Student, Islamic Azad University, Tehran Science and Research Branch, Department of Biology, Tehran, Iran

4. Associate Professor, Department of Chemistry, University of Tehran, Tehran, Iran

(Received: May 26, 2014; Accepted: Aug. 27, 2014)

Abstract

According to increasing use of nano materials and our daily exposure to them, it is required to investigate their effects on genital organs. Upon this purpose, in this research the effect of nano titanium dioxide on the spermatogenesis were studied. The effect of titanium dioxide with particle size of 10 nm on spermatogenesis of adult male NMRI mice strain in “in vivo” conditions was studied. Three groups: control (no treatment), sham (treated with distilled water), experimental (treatment with doses of 6, 30, 150, 300 mg / kg of nano titanium dioxide 10nm) were investigated. Intraperitoneal injection was applied for 5 consecutive days. 2 weeks after the last injection, mice were anesthetized and their testes and epididymis were removed. After fixing and preparing slides, they were examined. In this study, mouse weight, number of tubes in the testes and epididymis, tunica albuginea thickness, number of Leydig cells, fibroblasts, Sertoli and sperm numbers at three significant levels ($p<0.001$, $p<0.01$, $p<0.05$) were studied. The results showed the most adverse effects on spermatogenesis factor. Especially histological effects with the dose of 30 mg/kg in comparison to 150 and 300 mg/kg were more effectual. Concerning to the results, it is possible this material inhibits the enzymes responsible for growth and causes cell death and necrosis of tissues. The necessity of precaution for usage of this material, according to the results of this research is determined.

Keywords: Nano titanium dioxide, Spermatogenesis, Testis, Epididymis, Mice.

مقایسه اثرات نانو دی اکسید تیتانیوم با قطر ۱۰ nm بر بیضه و اپیدیدیم موش نر بالغ نژاد NMRI در شرایط in vivo

نسیم حیاتی روبداری^{۱*}, کاظم پریور^۲, ساغر رضایی^۳, علیرضا بدیعی^۴

۱. استادیار، دانشگاه آزاد اسلامی، واحد علوم و تحقیقات تهران، گروه زیست‌شناسی، تهران

۲. استاد، دانشگاه آزاد اسلامی، واحد علوم و تحقیقات تهران، گروه زیست‌شناسی، تهران

۳. دانشجوی کارشناسی ارشد، دانشگاه آزاد اسلامی، واحد علوم و تحقیقات تهران، گروه زیست‌شناسی، تهران

۴. دانشیار، پردیس علوم پایه، دانشکده شیمی، دانشگاه تهران، تهران
(تاریخ دریافت: ۹۳/۳/۵، تاریخ تصویب: ۹۳/۶/۵)

چکیده

با توجه به استفاده روزافزون و رویارویی هر روزه ما با نانو مواد و اهمیت بررسی اثرات نانو مواد بر دستگاه تناسلی، این کار تحقیقاتی روی اثرات نانو دی اکسید تیتانیوم بر اسپرماتوژن انجام شد. اثر نانو دی اکسید تیتانیوم با قطر ۱۰ nm بر اسپرماتوژن موش نر بالغ نژاد NMRI در شرایط in vivo مورد بررسی قرار گرفت. سه گروه کنترل (بدون تیمار)، شم (تیمار با آب مقطر)، تجربی (تیمار با دوزهای ۶، ۳۰، ۱۵۰، ۳۰۰ میلی گرم/ کیلوگرم از نانو دی اکسید تیتانیوم) مورد مطالعه قرار گرفتند. به تیمار به صورت ۵ روز متوالی تزریق درون صفائی انجام شد. ۲ هفته پس از آخرین تزریق، موش‌ها بیهوش شدند و بیضه و اپیدیدیم از بدنشان خارج گردید و پس از فیکس کردن و تهیه لام مورد بررسی قرار گرفتند. در این تحقیق، وزن موش، تعداد لوله‌ها در بیضه و اپیدیدیم، ضخامت تونیکا آلبوجینا، تعداد سلول‌های لیدیگ، فیبروبلاست، سرتولی و تعداد اسپرم مورد بررسی قرار گرفت. نتایج تحقیقات بیشترین اثرات سوء را بر فاکتورهای اسپرماتوژن به خصوص از نظر هیستولوژیکی در دوز ۳۰ میلی گرم/ کیلوگرم نسبت به دوز ۱۵۰ و ۳۰۰ میلی گرم/ کیلوگرم نشان داد. با توجه به نتایج، لزوم اختیاط مصرف این ماده با توجه به نتایج حاصل از این تحقیق مشخص می‌گردد.

واژه‌های کلیدی: نانو دی اکسید تیتانیوم، اسپرماتوژن، بیضه، اپیدیدیم، موش سوری.

* نویسنده مسئول:

E-mail: E-mail: nasimhayati@yahoo.com

مقدمه

(al., 2006; Revell, 2006

نانو مواد در مقایسه با دیگر مواد شیمیایی معمول ویژگی‌های فراوان و بینظیری دارند (Mahshid et al., 2002; O'Grady, 2002

ویژگی‌های فیزیکی از جمله اندازه ذرات، ریخت‌شناسی و حلالیت‌پذیری و ویژگی‌های شیمیایی یعنی ترکیب و ساختار شیمیایی نوع روکش ذره، دارای اهمیت بسیاری هستند و پیش‌بینی می‌شود تغییر هر یک از این ویژگی‌ها دارای نوع و میزان اثر بیولوژیکی متفاوت باشد. همچنین عوامل دیگری از جمله نسبت سطح به حجم، انتقال فاز، ثبات شیمیایی و تمایل به تشکیل توده نیز ممکن است به همین نسبت اهمیت داشته باشد (O'Grady, 2002)

به طور کلی با توجه به کاربرد نانو مواد در صنایع مختلف و وجود فرضیه‌های زیاد برای تأثیرات مخرب نانو ذرات بر روی موجودات زنده، بررسی و پژوهش در این زمینه از اهمیت زیادی برخوردار است و هدف از این پژوهش، بررسی اثرات مخرب نانو ذرات دی‌اکسید تیتانیوم با سایز ۱۰ نانومتر بر روی اسپرمatozئز موش سوری نر بالغ نژاد NMRI است.

مواد و روش‌ها

در این پژوهش از موش‌های سوری نرسفید کوچک Naval Medical Research (NMRI) بالغ نژاد (Institute) استفاده شد. ۵۰ سر موش سوری نر با وزنی در حدود ۲۵-۳۰ g در سه گروه ۶ تایی شامل یک گروه کنترل (بدون تیمار) (گروه ۱)، یک گروه شم (تیمار با آب مقطر) (گروه ۲) و یک گروه تجربی تیمار با دوزهای ۶ (گروه ۳)، ۳۰ (گروه ۴)، ۱۵۰ (گروه ۵)، ۳۰۰ (گروه ۶) میلی‌گرم بر کیلوگرم نانو ذرات به ازای وزن بدن مورد بررسی قرار گرفتند.

حیوانات مورد نیاز از انسیتو پاستور تهران خریداری شدند و در اتاق حیوانات آزمایشگاه زیست جانوری دانشگاه علوم و تحقیقات تهران در قفس‌های فلزی حیوانات که کف آنها با تراشه‌های چوب پوشیده شده

وقتی میکرو ذرات به نانو ذرات تبدیل می‌شوند با برخی تغییرات فیزیکی مواجه می‌شوند که مهمترین آن‌ها عبارتند از: افزایش نسبت مساحت سطحی به حجم و ورود اندازه ذره به قلمرو اثرات کوانتومی (Erb et al., 2002)

افزایش نسبت مساحت سطحی به حجم که به تدریج با کاهش اندازه ذره رخ می‌دهد، باعث غلبه یافتن رفتار اتم‌های واقع در سطح ذره به رفتار اتم‌های درونی می‌شود. این پدیده بر خصوصیات فیزیکی و شیمیایی ذره اثر می‌گذارد (Alivisatos, 1996; Erb et al., 2002). به محض این که ذرات به اندازه کافی کوچک شوند، شروع به رفتار مکانیک کوانتومی و خواص جدید می‌کنند (Alivisatos, 1996). نانو ذرات دی‌اکسید تیتانیوم (TiO_2) به دلیل داشتن خواص منحصر به فردشان می‌توانند در تولید انواع رنگ، لوازم آرایشی و بهداشتی، ساخت سرامیک و فتوکاتالیست‌ها، تصفیه آب و فاضلاب، فیلتراسیون گازها و بسیاری از صنایع دیگر کاربرد داشته باشند (Chen et al., 2011; Chiang et al., 2009; Mital and Manoj, 2011). فرضیه‌های مطرح شده نسبت به آسیب‌های احتمالی حاصل از فناوری نانو، باعث کندی رشد و توسعه این فناوری شده است (Das and AAnsari, 2009). پس باید اطلاعات صحیح، بی‌طرفانه و قانونمند درباره خطرها و چگونگی پرهیز از آنها بدست آورده شود (Chen et al., 2006; Zhang et al., 2010).

علم سم‌شناسی نانو مواد، در توسعه و گسترش نانو فناوری پایدار و ایمن، نقش بسیار مهمی خواهد داشت (Mahshid et al., 2006). اگرچه هم‌اکنون اطلاعات کمی در ارتباط با اثر سم‌شناسی زیستمحیطی و اثر سم‌شناسی انسانی نانو مواد در دسترس است، با این وجود با توجه به ویژگی‌های فیزیکی-شیمیایی نانومواد، پیش‌بینی می‌شود که این مواد با اجزای زیستی برهم‌کنش داشته و اثرات زیادی بر رفتار و خصوصیات ماکرومولکول‌ها، سلول‌ها و بدن موجودات زنده بر جای می‌گذارند (Andrew et al., 2010; Mahshid et al., 2010).

دو هفته پس از آخرین تزریق، موش‌ها را وزن و سپس بیهوش کرده و بافت بیضه و اپیدیدیم را برای بررسی جدا کردیم.

پس از خارج کردن بافت بیضه، برای بررسی‌های مورفولوژیکی به وسیله ترازوی دیجیتال، بافت‌ها را وزن کرده و به وسیله کولیس ورنیه طول و عرض آنها اندازه‌گیری گردید. سپس بافت بیضه و اپیدیدیم، در سرم فیزیولوژی شستشو و به مدت ۸ ساعت در فیکساتیو بوئن قرار داده شد و سپس به الکل $\%70$ منتقل و برای بررسی‌های بافت‌شناسی از بافت‌های فیکس شده لام تهیه شد.

قطر و ضخامت کلیه لوله‌ها و ضخامت تونیکا و قطر اپیتیلیوم ژرمنیال، تعداد لوله‌ها، تعداد سلول‌های فیبروبلاست، لایدیک، رگ خونی، اسپرماتوگونی A و B، اسپرماتوسیت اولیه، اسپرماتیدها و سرتولی توسط میکروسکوپ نوری بررسی گردید (تصاویر ۱-۱۲).

پس از جمع‌آوری داده‌ها، آنالیزهای آماری توسط نرم‌افزار SPSS و آنالیز One-Way ANOVA انجام و $p < 0.05$ و $p < 0.01^{***}$ و $p < 0.001^{***}$ به عنوان شاخص معنی‌داری در نظر گرفته شد و نتایج به صورت $\text{Mean} \pm \text{SD}$ نمایش داده شد.

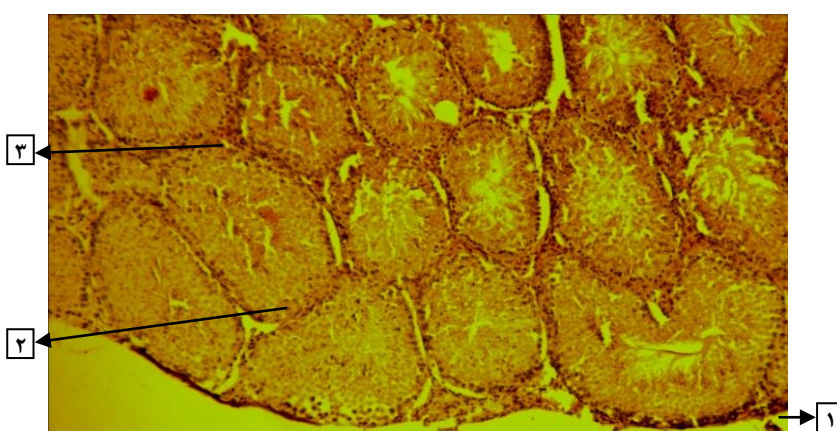
بود و در شرایط کنترل شده (درجه حرارت 23 ± 2 سانتی‌گراد و شرایط ۱۲ ساعت روشناختی و ۱۲ ساعت تاریکی) با دسترسی آسان به آب لوله‌کشی قابل شرب شهر تهران و پلیت‌های آماده و مخصوص که از شرکت خوارک دام پارس خریداری شدن، نگهداری شدند.

تمام موش‌های سوری به مدت یک هفته قبل از شروع آزمایش‌ها در شرایط یکسان محیطی در آزمایشگاه نگهداری شدند، تا از نظر تطابق، آشنایی و رژیم غذایی به محیط عادت نمایند. آزمایشات حیوانی مورد تأیید کمیته اخلاق بود.

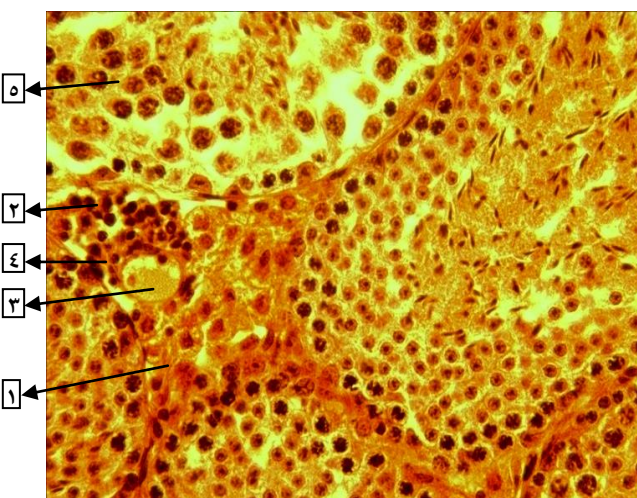
هر یک از موش‌های گروه شم به مدت ۵ روز با آب مقطرا و هر کدام از موش‌های گروه‌های تجربی به مدت ۵ روز با دوزهای (300 , 150 , 6 mg/kg) به صورت تزریق درون صفاقی تیمار شدند.

جهت تهیه دوزهای موردنظر، مقدار معین از پودر نانوذره دی اکسید تیتانیوم 10 nm را با $0/5\text{ cc}$ آب مقطرا ۲ بار تقطیر و به وسیله وورتکس مخلوط گردید. سوسپانسیون حاصل توسط سرنگ انسولین به موش‌ها تزریق شد. فرمول محاسبه میزان تزریق:

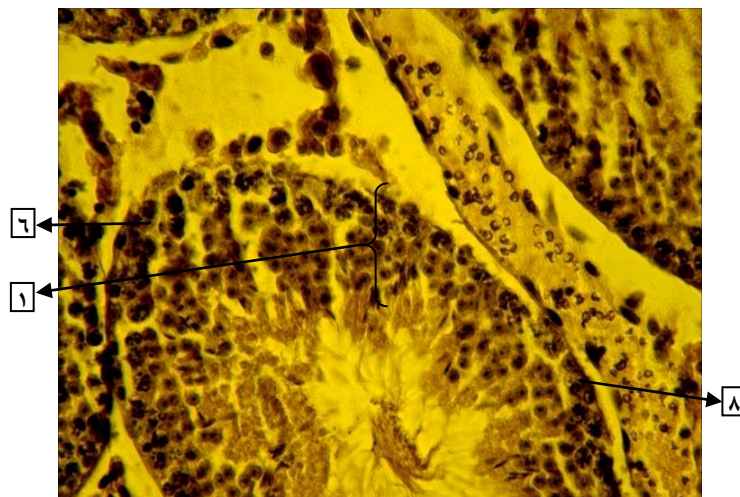
$$\frac{\text{دز} \times \text{وزن موش}}{1000 \text{ ml}}$$



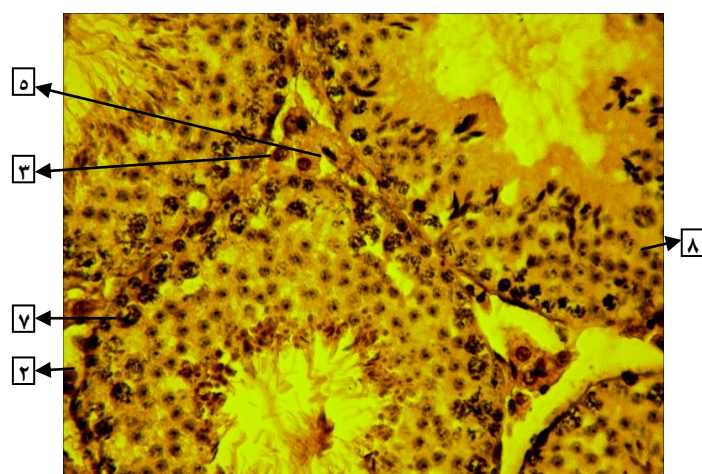
تصویر ۱. فتومیکروگراف مقطع سریالی به ضخامت ۶ میکرومتر به صورت عرضی از بیضه، نمونه‌های بالغ در گروه کنترل (بزرگنمایی $\times 400$) [۱- تونیکا آلوجینا / ۲- لوله‌های سمینی فرز / ۳- سلول‌های لیدیگ]



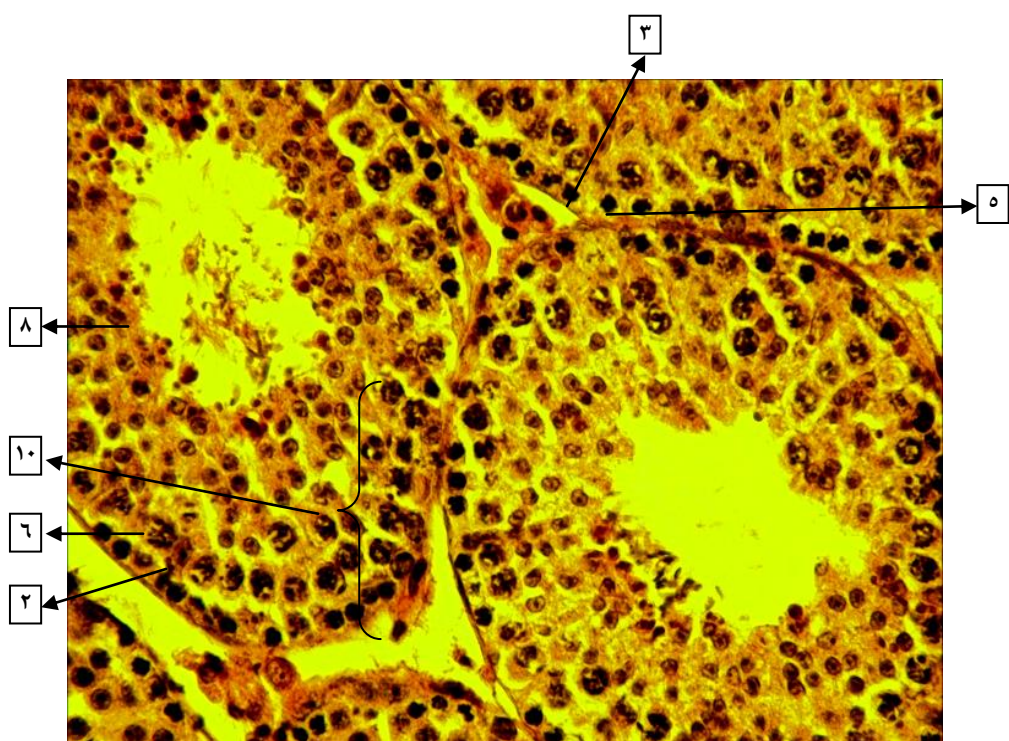
تصویر ۲. فتومیکروگراف مقطع سریالی به ضخامت ۶ میکرومتر به صورت عرضی از بیضه، نمونه های بالغ در گروه شم (بزرگنمایی $\times 400$) [۱- لوله های سمینی فرز / ۲- سلول های لیدیگ / ۳- مقطع رگ خونی / ۴- فیبروبلاست ۵- اسپرماتوگونی B]



تصویر ۳. فتومیکروگراف مقطع سریالی به ضخامت ۶ میکرومتر به صورت عرضی از بیضه، نمونه های بالغ در گروه تجربی ۱ (دوز 6 mg/kg) (بزرگنمایی $\times 400$) [۶- اسپرماتوگونی B / ۸- اسپرماتیدها / ۱۰- اپیتیبیوم ژرمینال]

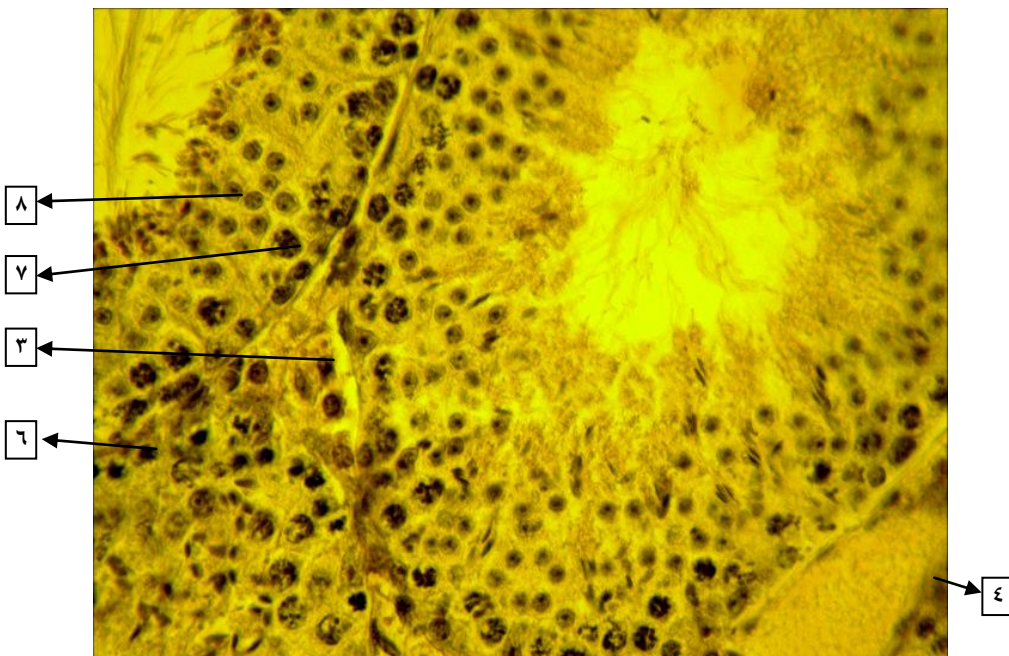


تصویر ۴. فتومیکروگراف مقطع سریالی به ضخامت ۶ میکرومتر به صورت عرضی از بیضه، نمونه های بالغ در گروه تجربی ۲ (دوز 30 mg/kg) (بزرگنمایی $\times 400$) [۲- لوله های سمینی فر / ۳- لیدیگ / ۵- فیبروبلاست / ۷- اسپرماتوسیت اولیه / ۸- اسپرماتیدها]



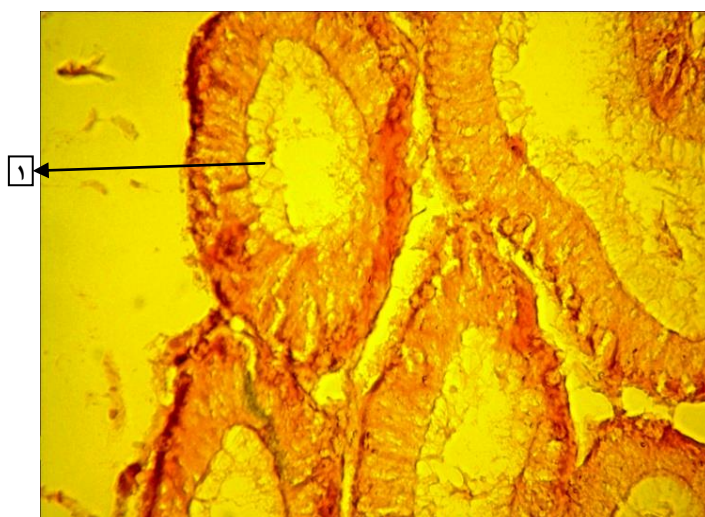
تصویر ۵. فتومیکروگراف مقطع سریالی به ضخامت ۶ میکرومتر به صورت عرضی از بیضه، نمونه‌های بالغ در گروه تجربی ۳ (دوز ۱۵۰ mg/kg) (بزرگنمایی $\times 400$)

[۲- لوله‌های سمینی فر / ۳- لیدیگ / ۵- فیبروبلاست / ۶- اسپرماتوگونی B / ۸- اسپرماتیدها / ۱۰- اپیتلیوم ژرمینال]

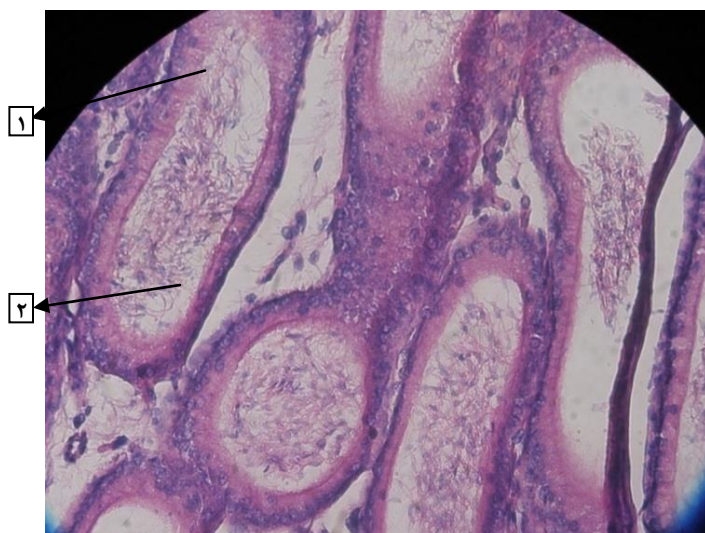


تصویر ۶. فتومیکروگراف مقطع سریالی به ضخامت ۶ میکرومتر به صورت عرضی از بیضه، نمونه‌های بالغ در گروه تجربی ۴ (دوز ۳۰۰ mg/kg) (بزرگنمایی $\times 400$)

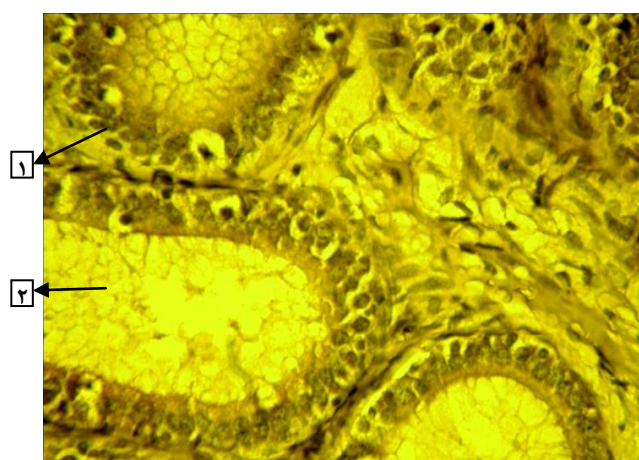
[۳- لیدیگ / ۴- مقطع رگ خونی / ۶- اسپرماتوگونی B / ۷- اسپرماتوسیت اولیه / ۸- اسپرماتیدها]



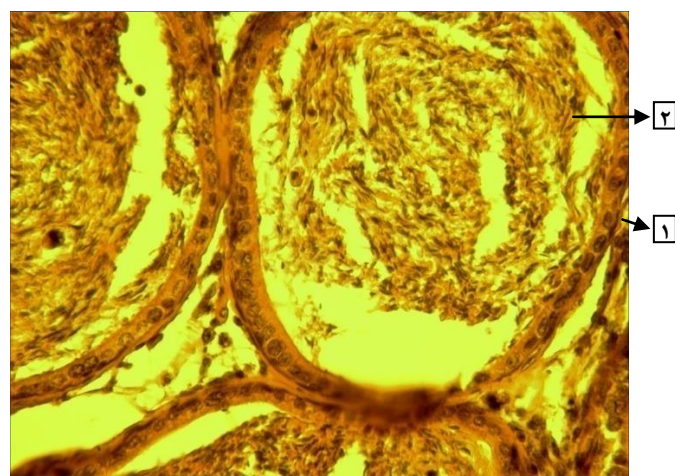
تصویر ۷. فتو میکرو گراف مقطع سریالی به ضخامت ۶ میکرومتر از اپیدیدیم، نمونه های بالغ در گروه کنترل (بزرگنمایی $\times 400$) [۱- لوله های اپیدیدیم]



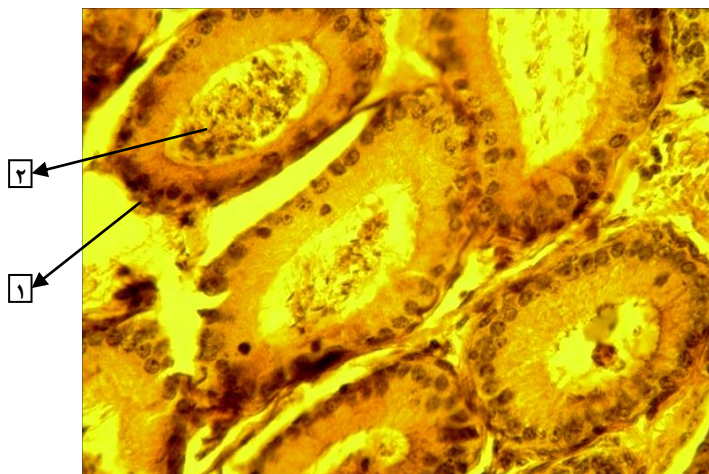
تصویر ۸. فتو میکرو گراف مقطع سریالی به ضخامت ۶ میکرومتر از اپیدیدیم، نمونه های بالغ در گروه شم (بزرگنمایی $\times 400$) [۱- لوله های اپیدیدیم / ۲- اسپرم های موجود در لوله]



تصویر ۹. فتو میکرو گراف مقطع سریالی به ضخامت ۶ میکرومتر از اپیدیدیم، نمونه های بالغ در گروه تجربی ۱ (دوز 5 mg/kg) (بزرگنمایی $\times 400$) [۱- لوله های اپیدیدیم / ۳- اسپرم های موجود در لوله]



تصویر ۱۰. فتوميكروگراف مقطع سريالي به ضخامت ۶ ميكرومتر از اپيديديم، نمونه‌های بالغ در گروه تجربی ۲ (بزرگنمایی $\times 400$) [۱- لوله‌های اپيديديم / ۲- اسperm‌های موجود در لوله] (دوز 30 mg/kg)

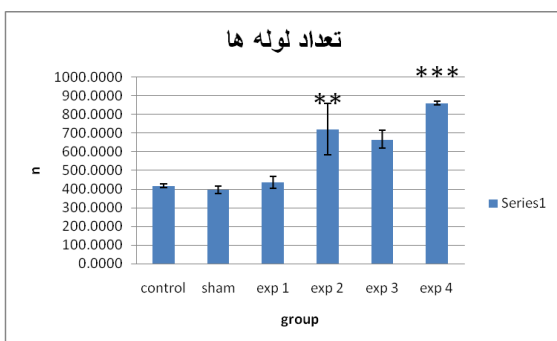


تصویر ۱۱. فتوميكروگراف مقطع سريالي به ضخامت ۶ ميكرومتر از اپيديديم، نمونه‌های بالغ در گروه تجربی ۳ (دوز 150 mg/kg) (بزرگنمایی $\times 40$) [۱- لوله‌های اپيديديم / ۲- اسperm‌های موجود در لوله]



تصویر ۱۲. فتوميكروگراف مقطع سريالي به ضخامت ۶ ميكرومتر از اپيديديم، نمونه‌های بالغ در گروه تجربی ۴ (دوز 300 mg/kg) (بزرگنمایی $\times 400$) [۱- لوله‌های اپيديديم / ۲- اسperm‌های موجود در لوله]

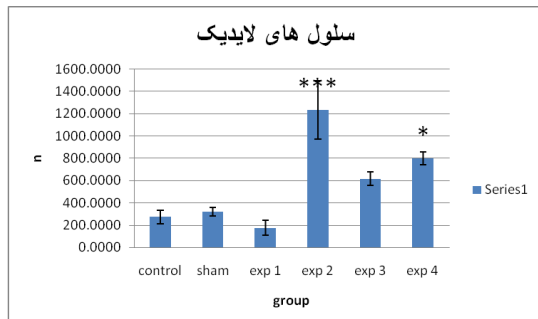
نتایج تعداد لوله‌های سینی فرز در بیضه در تمام گروه‌های تجربی افزایش کلی را در میانگین تعداد لوله‌ها نشان داد. این افزایش در گروه‌های تجربی ۲ و ۴ در مقایسه با گروه‌های کنترل و شم، از نظر آماری معنادار است (نمودار ۳).



نمودار ۳. مقایسه میانگین تعداد لوله‌ها در بیضه در گروه‌های: کنترل، شم و گروه‌های تجربی با دوزهای ۱:۱، ۳۰:۲، ۱۵۰:۳، ۳۰:۴، ۳۰۰:۴ میلی‌گرم بر کیلوگرم، تغییرات در گروه‌های تجربی ۲ و ۴ معنی‌دار است.

$$(\bar{x} \pm SE) (* P < 0.05, ** P < 0.01, *** P < 0.001)$$

نتایج نشان داد که تعداد سلول‌های لاپیدیک در بیضه در گروه تجربی ۱ کاهش ولی در گروه‌های ۲، ۳ و ۴ افزایش یافته و این افزایش در گروه‌های ۲ و ۴ نسبت به گروه‌های کنترل و شم از نظر آماری معنادار است (نمودار ۴).

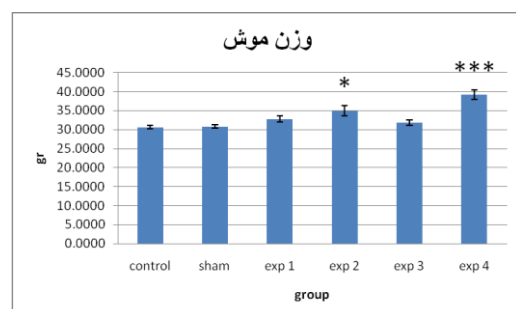


نمودار ۴. مقایسه میانگین تعداد سلول‌های لاپیدیک در بیضه در گروه‌های: کنترل، شم و گروه‌های تجربی با دوزهای ۱:۱، ۳۰:۲، ۱۵۰:۳، ۳۰۰:۴ میلی‌گرم بر کیلوگرم، تغییرات در گروه‌های تجربی ۲ و ۴ معنی‌دار است.

$$(\bar{x} \pm SE) (* P < 0.05, ** P < 0.01, *** P < 0.001)$$

نتایج

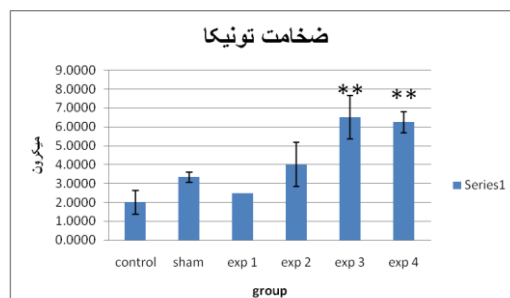
یافته‌های مطالعه حاضر مبنی بر تزریق نانوذرات NMRI دی‌اسید تیتانیوم به موش‌های سوری نژاد نشان می‌دهد که میانگین وزن موش‌ها با افزایش دوز در گروه‌های تجربی ۱، ۲، ۳ و ۴ افزایش یافته است (نمودار ۱). همچنین مشاهده شد در گروه‌های ۲ و ۴ این افزایش معنادار می‌باشد.



نمودار ۱. مقایسه میانگین وزن موش‌ها در گروه‌های: کنترل، شم و گروه‌های تجربی با دوزهای ۱:۱، ۳۰:۲، ۱۵۰:۳، ۳۰۰:۴ میلی‌گرم بر کیلوگرم، تغییرات در گروه‌های تجربی ۲ و ۴ معنی‌دار است.

$$(\bar{x} \pm SE) (* P < 0.05, ** P < 0.01, *** P < 0.001)$$

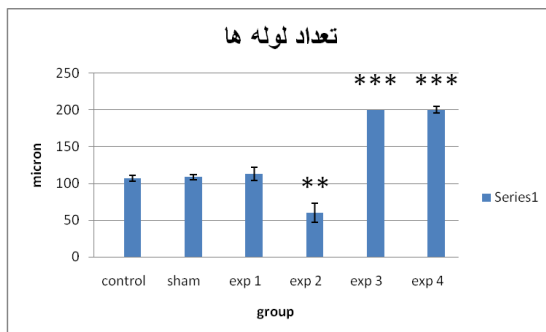
بررسی نتایج ضخامت تونیکا در بیضه در گروه تجربی ۱ کاهش و در گروه‌های تجربی ۳، ۴، ۵ افزایش میانگین را نسبت به گروه‌های کنترل و شم نشان داد. این افزایش در گروه‌های ۳، ۴ از نظر آماری معنی‌دار می‌باشد (نمودار ۲).



نمودار ۲. مقایسه میانگین ضخامت تونیکا در گروه‌های: کنترل، شم و گروه‌های تجربی با دوزهای ۱:۱، ۳۰:۲، ۱۵۰:۳، ۳۰۰:۴ میلی‌گرم بر کیلوگرم، تغییرات در گروه‌های تجربی ۳ و ۴ معنی‌دار است.

$$(\bar{x} \pm SE) (* P < 0.05, ** P < 0.01, *** P < 0.001)$$

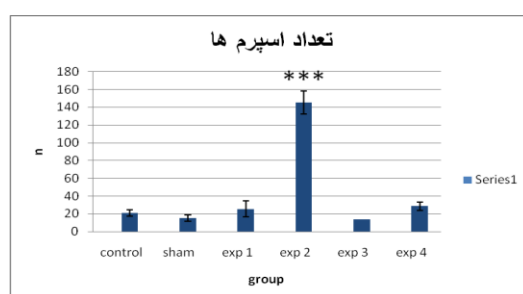
نتایج نشان داد که تعداد لوله ها در اپیدیدیم در گروه تجربی ۲ کاهش یافته و معنی دار است، ولی در گروه های ۱، ۳ و ۴ افزایش یافته و این افزایش نسبت به گروه های کنترل و شم از نظر آماری در گروه های ۳ و ۴ معنی دار است (نمودار ۷).



نمودار ۷. مقایسه میانگین تعداد لوله ها در اپیدیدیم در گروه های: کنترل، شم و گروه های تجربی با دوز های ۱:۶، ۳۰:۲، ۱۵۰:۳، ۳۰۰:۴ میلی گرم بر کیلو گرم، تغییرات در گروه های تجربی ۱، ۳ و ۴ معنی دار است.

$$(\bar{x} \pm SE) (* P < 0.05, ** P < 0.01, *** P < 0.001)$$

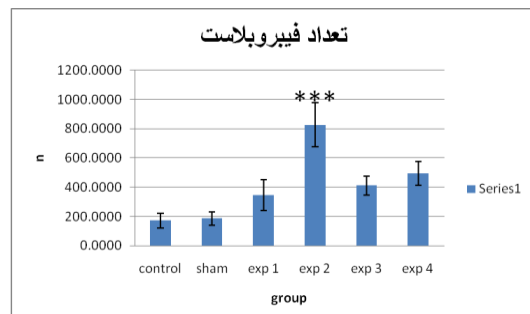
نتایج نشان داد که تعداد اسپرم ها در بیضه در گروه تجربی ۲ افزایش یافته و معنی دار است و این افزایش نسبت به گروه های کنترل و شم از نظر آماری معنی دار است (نمودار ۸).



نمودار ۸. مقایسه میانگین تعداد اسپرم ها در بیضه در گروه های: کنترل، شم و گروه های تجربی با دوز های ۱:۶، ۳۰:۲، ۱۵۰:۳، ۳۰۰:۴ میلی گرم بر کیلو گرم، تغییرات در گروه تجربی ۲ معنی دار است.

$$(\bar{x} \pm SE) (* P < 0.05, ** P < 0.01, *** P < 0.001)$$

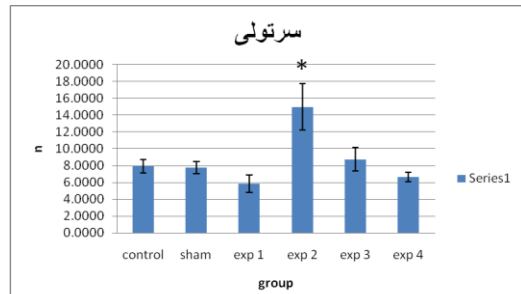
نتایج نشان داد که در تمام گروه های تجربی افزایش کلی در میانگین تعداد فیبروبلاست ها دیده می شود. این افزایش در مقایسه با گروه های کنترل و شم در گروه تجربی ۲ از نظر آماری معنی دار است (نمودار ۵).



نمودار ۵. مقایسه میانگین تعداد سلول های فیبروبلاست در بیضه در گروه های: کنترل، شم و گروه های تجربی با دوز های ۱:۶، ۳۰:۲، ۱۵۰:۳، ۳۰۰:۴ میلی گرم بر کیلو گرم، تغییرات در گروه تجربی ۲ معنی دار است.

$$(\bar{x} \pm SE) (* P < 0.05, ** P < 0.01, *** P < 0.001)$$

نتایج نشان داد که تعداد سلول های سرتولی در بیضه، در گروه های تجربی ۱ و ۴ کاهش، ولی در گروه های ۲ و ۳ افزایش یافته و این افزایش نسبت به گروه کنترل و شم از نظر آماری در گروه ۲ معنی دار است (نمودار ۶).



نمودار ۶. مقایسه میانگین تعداد سلول های سرتولی در بیضه در گروه های: کنترل، شم و گروه های تجربی با دوز های ۱:۶، ۳۰:۲، ۱۵۰:۳، ۳۰۰:۴ میلی گرم بر کیلو گرم، تغییرات در گروه های تجربی ۲ معنی دار است.

$$(\bar{x} \pm SE) (* P < 0.05, ** P < 0.01, *** P < 0.001)$$

سلول‌های لیدیگ شده و تکثیر آنها را مختل می‌کند. بررسی تعداد فیبروبلاست‌ها در تمام گروه‌های گروه تجربی افزایش نشان داد که این افزایش در گروه تجربی ۲ معنی‌دار می‌باشد. یکی از سلول‌های مهم در اسپرماتوژن، سلول سرتولی است که کار پشتیبانی، حفاظت و تنظیم تعذیب اسپرماتوزوئیدهای در حال تکامل را بر عهده دارد. نتایج در گروه تجربی ۱ کاهش و در گروه‌های تجربی ۲، ۳ و ۴ افزایش نشان داد که افزایش در گروه تجربی ۲ معنی‌دار است.

Takeda (2004) نیز نشان داد که در معرض گذاری قبل از تولد با نانو ذرات تیتانیوم دی اکسید anatase ۷۰-۲۰ نانومتری می‌تواند در سلول‌های لیدیگ و سرتولی ۴ روز و ۶ هفته بعد از تولد مشاهده شود. از این رو، تولید اسپرم روزانه به طور واضحی در مقایسه با زاده‌های کنترل کاهش می‌یابد. در پژوهش ما نیز بررسی تعداد اسپرم‌ها در اپیدیدیم افزایش غیرطبیعی را در گروه تجربی ۲ نشان داد که این افزایش، معنی‌دار است.

پیش‌بینی می‌شود غلظت بالای نانو دی اکسید تیتانیوم به علت مهار فعالیت سلول و همچنین تحریک استرس اکسیداتیو و کاهش آنتی‌اکسیدان‌های سلولی و افزایش درگیری سلول‌ها در فرایندهای ایمنی موجب کاهش تعداد سلول‌های خونی می‌گردد (Chen *et al.*, 2006; Zhang *et al.*, 2010).

Fabian (2008) صورت گرفت، تأثیر تجویز داخل وریدی نانو ذرات دی اکسید تیتانیوم با دوز ۵ mg/kg در رت‌های نژاد Wistar مورد بررسی قرار گرفت. تجمع مقداری از این ذرات در کبد، کلیه، طحال و ریه یافت شد، ولی هیچ گونه پاسخ التهابی در بافت‌های فوق دیده نشد. بر این اساس او پیشنهاد کرد که نانو ذرات دی اکسید تیتانیوم اگر با مقادیر کم استفاده شوند، خطری ندارند.

در طی آزمایشات ما، تجمع تیتانیوم دی اکسید در کشاله ران، دور بیضه، درون روده و همچنین کیست‌هایی

بحث و نتیجه‌گیری

امروزه آلودگی‌های ناشی از نانو ذرات به عنوان مسئله جدی و خطرناک مطرح شده است (Revell, 2006; Shi *et al.*, 2006). ماندگاری نانو ذرات دی اکسید فلزی در محیط و زنجیره غذایی زیاد می‌باشد که این موجب تداوم مسمومیت‌های ناشی از آنها می‌شود (Peter *et al.*, 2004). در پژوهش حاضر اثر سمیت نانو دی اکسید تیتانیوم به علت کاربرد زیاد آن در صنایع مختلف بررسی شده است (Aschberger *et al.*, 2011).

بررسی میانگین وزن موش‌ها در تمام دوزها افزایش نشان داده است که این افزایش در گروه‌های تجربی ۲ و ۳ معنی‌دار می‌باشد.

Lambort (2006) نیز آزمایشاتی در شرایط in vivo بر روی نانو دی اکسید تیتانیوم انجام داد و متوجه بزرگ شدن بیضه شد.

ضخامت تونیکا آلبوجینا در گروه‌های تجربی ۲ و ۴ افزایش یافته که این افزایش در گروه‌های تجربی ۳ و ۴ معنی‌دار می‌باشد.

به نظر می‌رسد نانو دی اکسید تیتانیوم فرآیندهای مختلفی در بدن را تحت تأثیر قرار می‌دهد (Meei *et al.*, 2001).

تعداد لوله‌های سمینی فرز در بیضه و اپیدیدیم بررسی شد. تعداد لوله‌ها در گروه‌های تجربی ۱، ۲، ۳ و ۴ در بیضه و ۱، ۳، ۴ در اپیدیدیم افزایش یافته ولی در گروه‌های تجربی ۲ در اپیدیدیم کاهش یافته است. افزایش در گروه تجربی ۲ و ۴ در بیضه و کاهش در گروه ۲ در اپیدیدیم معنی‌دار می‌باشد.

بررسی سلول‌های لیدیگ در بیضه در گروه تجربی ۱ کاهش و در گروه‌های تجربی ۲، ۳ و ۴ افزایش نشان داد که این افزایش در گروه‌های تجربی ۲ و ۴ معنی‌دار می‌باشد.

Tomoko in vitro (2008) آزمایشاتی در شرایط با استفاده از نانو دی اکسید تیتانیوم انجام داد و نتیجه گرفت که نانو دی اکسید تیتانیوم سیستم تولیدمثبت نر را تحت تأثیر قرار می‌دهد. این نانو جذب

شود، حضور برخی مواد درشت دانه می‌تواند باعث ایجاد آسیب مستقیم یا مرگ سلول در اثر این تعاملات شود (Shi *et al.*, 2006).

به طور کلی نتایج این پژوهش سمیت نانو دی اکسید تیتانیوم را تأیید نمود و مطالعات بیشتر جهت پیش‌بینی اثرات بیشتر این ماده پیشنهاد می‌گردد.

REFERENCES

- Alivisatos, AP.; (1996) Semiconductor clusters, nanocrystals and quantum dots. *Science*, February; 271 (5251): 933-9.
- Andrew, CA.; Wan, Jackie.; Ying, Y.; (2010) Nanomaterials for in situ cell delivery and tissue regeneration. Jun 15; 62(7-8): 731-40.
- Aschberger, K.; Micheletti, C.; Sokull-Klüttgen, B.; Christensen, F.; (2011) Analysis of currently available data for characterising the risk of engineered nanomaterials to the environment and human health- Lessons learned from four case studies. Aug; 37(6):1143-56.
- Chen, TH.; Lin, CY.; Tseng, MC.; (2011) Behavioral effects of titanium dioxide nanoparticles on larval zebrafish (*Danio rerio*). May; 63(5-12): 303-8.
- Chen, Z.; Meng, H.; Xing, G.; Chen, C.; Zhao, Y.; Jia, G.; *et al.* (2006) Acute toxicological effects of copper nanoparticles *invivo*. *Toxicology Letters*, May; 163(2): 109-20.
- Chiang, CY.; Chiou, SH.; Yang, WE.; Hsu, ML.; Yung, MC.; Tsaic, ML.; Chenf, LK.; Huang, HH.; (2009) Formation of TiO₂ nano-networkon titanium surfaceincreases the human cell growth. August; 25(8): 1022-1029.
- Das, I.; AAnsari, S.; (2009) Nanomaterial in science and technology, *Journal of science & industrial research*, Aug; 68(08): 657-667.
- Erb, U.; Aust, KT.; Palumbo, G.; (2002) In nanostructured materials. Processing, properties and potential applications. Noyes: New York; p. 179-222.
- dr روی کبد موش‌ها مشاهده شد. هنگامی که نانو ذرات، در یک بافت انباشته می‌شوند ممکن است به درون سلول‌ها جذب شوند و یا این که جذبی صورت نگیرد. اگر این ذرات جذب شوند جایگزینی نهایی مورد سلولی در لیزوژوم یا سیتوپلاسم سلول وابسته به ویژگی‌های نانو ذره خواهد بود. اگر نانوذره در سیتوپلاسم مستقر
- Fabian, E.; Landsiedel, R.; Ma-Hock, L.; Wiench, K.; Wohlleben, W.; vanRavenzwaay, B.; (2008) Tissue distribution and toxicity of intravenous adm-inistered titanium dioxide nanoparticles in rats. *Arch Toxicol*, Mar; 82(3):151-7.
- Foss, HS.; Maynard, A.; Baun, A.; Tickner, JA.; (2008) Late lessons from early warnings for nanotechnology. *Nat. Nanotechnol*. July; 198(3): 444-447.
- Keen, CL.; Uriu-Hare, JY.; Hawk, SN.; Jankowski, MA.; Dalton, GP.; Kwik-Uribe, CL.; Rucker, RB.; (1998) Effect of copper deficiency on prenatal developmental and pregnancy outcome 1,3-the American journal of clinical nutrition; May; 67(5): 1003-1011.
- Lambrota, R.; Liver, G.; Coffigny, H.; Pairault, C.; Frydman, R.; Habert, R.; Rouiller-Fabrea, V.; (2006) A new method for toxicity assays on human and mouse fetal testis. Nov; 88(11): 1831-5.
- Mahshid, S.; Ghamsari, MS.; Askari, M.; Afshar, N.; Lahuti, S.; (2006) Synthesis of TiO₂ nanoparticles by hydrolysis and peptization of titanium isopropoxide solution. *Semicond Phys Quantum Electron Optoelectron*, July; 9(2): 65-8.
- Meei, W.; Tsung, W.; Luan, H.; (2001) Association of blood arsenic levels with increased reactive oxidants and decreased antioxidant capacity in a human population of northeastern Taiwan. *Environ Hroy Peal Perspect* Oct; 109(10): 1011-17.

- Mital, GS.; Manoj, T.; (2011) A review of TiO₂ nanoparticles. *Chinese Sci Bull*, June; 56(16): 1639-57.
- O'Grady, K.; (2002) Biomedical applications of magnetic nanoparticles. *J Phys D: Appl Phys*; 36(13): 24-32.
- Peter, HH.; Irene, BH.; Oleg, VS.; (2004) Nanoparticles-known and unknown health risks. *J Nanobioethnol*, 2(1): 12-27.
- Revell, PA.; (2006) The biological effects of nanoparticles. *Nanotechnology Perceptions*, 2: 283-98.
- Shi, JW.; Zhang, F.; Zhao, YL.; Chai, ZF.; (2006) Acute toxicity of nano- and micro-scale zinc powder in healthy adult mice. *Toxicology Letters*; 161(2): 115-23.
- Takeda, KT.; Sukue, N.; Yoshido, S.; Endocrin-disrupting activiy of cheicals in diesel exhaust and diesel exhaust particles. *Environ Sci*, 11(1): 33-45.
- Tomoko, K.; Masako, T.; Miyoko, KI.; Takahisa, S.; Ken-ichiro, S.; Yoshimasa, N.; Ken, T.; (2008) The effects of nanoparticles on mouse testis Leydig cells in vitro. Dec; 22(8):1825-31.
- Zhang, XD.; Wu, HY.; Wu, D.; Wang, YY.; Chang, JH.; Zhai, ZB.; *et al.* (2010) Toxicologic effects of gold nanoparticles invivo by different administration routes. *Int J Nanomedicine*. Oct; 5(5):771-81.